講演番号：020　文献番号：20206020

学術講演会予稿集正誤表

(Errata of Proceedings/Summarized Papers)

学術講演会セッション番号・セッション名 (SessionNo.-Session Name)	【セッション No.】112 【セッション名】エンジンシステム設計・モデル開発 II
講演タイトル （Title）	【講演タイトル】企画段階における RDE 開発環境の構築とその活用
講演者名 (Speaker name) 所属名 (Affiliation)	大久保　泰宏 （株）いすゞ中央研究所
誤 (Incorrect)	1.Table 3 中の valid condition 定義式 Ia＝0.0742×X＋18.966 2.Fig.8 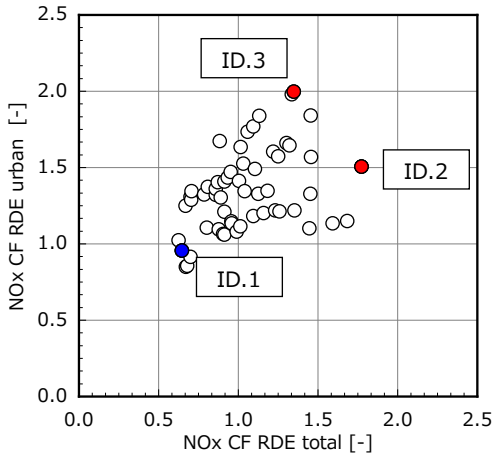
正 (Correct)	1.Ia＝0.0742・V＋18.966 2.Fig.8 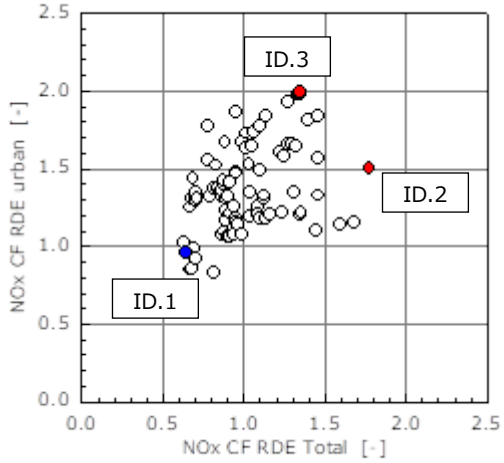

講演番号：039　文献番号：20206039

学術講演会予稿集正誤表

(Errata of Proceedings/Summarized Papers)

学術講演会セッション番号・セッション名 (SessionNo.-Session Name)	117・高齢ドライバ (SessionNo.117　-Session Name)
講演タイトル （Title）	高齢者ドライバの運転行動におけるペダル操作の研究（A study on pedal operation in the driving behavior of elderly drivers）
講演者名 (Speaker name) 所属名 (Affiliation)	青木邦友（Kunitomo Aoki） 名古屋大学未来社会創造機構 （Nagoya University）
誤 (Incorrect)	被験者 11 の計測データに誤りがありました.そのため関連する，Table.　1，Fig.4，Fig.5 を修正します. Table.　1　　Subject test result list

Sub-ject	Age	Gen-der F0 M1	Mile-age (km)	Run time (H)	Posi. Foot rest 1	Heel fix. PK	Heel fix DR	Distance from the center of the brake pedal(mm)							
								When simply stepping on		During parking				During Driving	
								Ave. devi.	Std. Devi.	Ave. devi.	Std. Devi.	Max.	Min.	Ave. devi.	Std. Devi.
3	75	1	27	1.8	0	1	1	-36	2	-47	9	-30	-59	-39	9
4	73	1	91	4	1	1	1	-35	3	-32	13	-6	-55	-33	8
5	76	1	35	1.2	0	1	1	-18	2	-17	10	5	-35	-7	6
6	73	1	27	1.3	1	1	1	-32	7	-52	14	-22	-70	-40	10
7	69	1	14	0.5	1	1	1	-32	8	-41	8	-27	-51	-51	11
8	67	1	37	1.6	1	1	1	-41	5	-39	14	-20	-64	-29	10
10	71	1	4.6	0.2	1	1	1	-40	8	-60	12	-29	-84	-51	10
11	82	1	17	1.3	0	0	0	-42	9	-63	30	-9	-92	-47	6
13	82	1	61	2.3	0	0	0	-13	4	0	28	80	-42	5	12
15	84	1	119	3.5	0	0	1	-35	3	-35	14	1	-57	-45	8
19	75	0	10	0.7	0	0	0	-24	5	-49	7	-30	-56	-37	9
22	79	0	5.5	0.4	0	0	0	-28	6	-35	11	-20	-56	-27	4

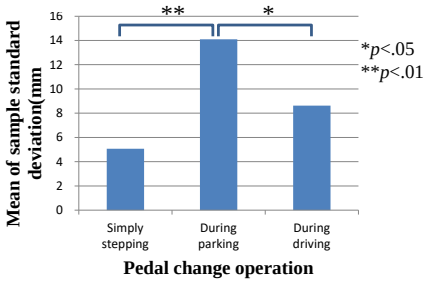

Fig. 4 Mean of sample standard deviation
（図 4）　（$t(13)= 2.49$, $p<0.05$）

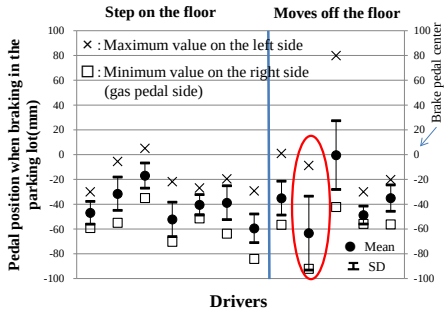

Fig. 5 Distance between the center of the brake pedal and the center of the instep when pressing the brake pedal in the parking lot for each driver

正
(Correct)

Table. 1 Subject test result list

Sub-ject	Age	Gen-der F0 M1	Mile-age (km)	Run time (H)	Posi. Foot rest 1	Heel fix. PK	Heel fix DR	Distance from the center of the brake pedal(mm)							
								When simply stepping on		During parking				During Driving	
								Ave. devi.	Std. Devi.	Ave. devi.	Std. Devi.	Max.	Min.	Ave. devi.	Std. Devi.
3	75	1	27	1.8	0	1	1	-36	2	-47	9	-30	-59	-39	9
4	73	1	91	4	1	1	1	-35	3	-32	13	-6	-55	-33	8
5	76	1	35	1.2	0	1	1	-18	2	-17	10	5	-35	-7	6
6	73	1	27	1.3	1	1	1	-32	7	-52	14	-22	-70	-40	10
7	69	1	14	0.5	1	1	1	-32	8	-41	8	-27	-51	-51	11
8	67	1	37	1.6	1	1	1	-41	5	-39	14	-20	-64	-29	10
10	71	1	4.6	0.2	1	1	1	-40	8	-60	12	-29	-84	-51	10
11	82	1	17	1.3	0	0	0	-42	9	-37	16	-9	-58	-47	6
13	82	1	61	2.3	0	0	0	-13	4	0	28	80	-42	5	12
15	84	1	119	3.5	0	0	1	-35	3	-35	14	1	-57	-45	8
19	75	0	10	0.7	0	0	0	-24	5	-49	7	-30	-56	-37	9
22	79	0	5.5	0.4	0	0	0	-28	6	-35	11	-20	-56	-27	4

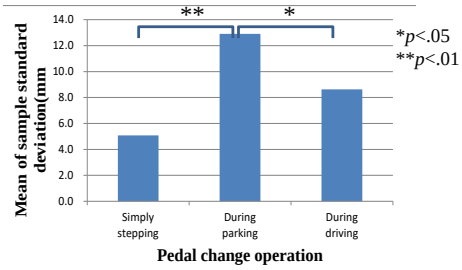

Fig. 4 Mean of sample standard deviation
(図 4) ($t(15)= 2.55$, $p<0.05$)

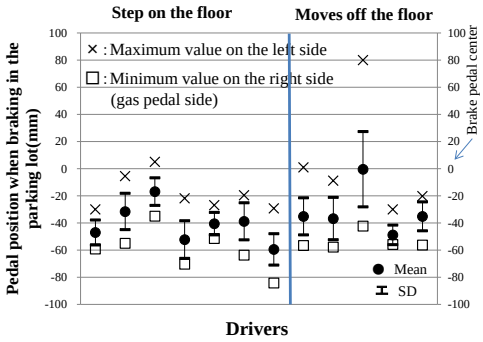

Fig. 5 Distance between the center of the brake pedal and the center of the instep when pressing the brake pedal in the parking lot for each driver

講演番号：069　文献番号：20206069

学術講演会予稿集正誤表

(Errata of Proceedings/Summarized Papers)

学術講演会セッション 番号・セッション名 (SessionNo.-Session Name)	セッション番号：123 セッション名：HMI I
講演タイトル （Title）	周辺視野へ提示した手がかり刺激の動的設計による視線誘導効果
講演者名 (Speaker name) 所属名 (Affiliation)	名越陽紀 成蹊大学大学院
誤 (Incorrect)	P4 左下 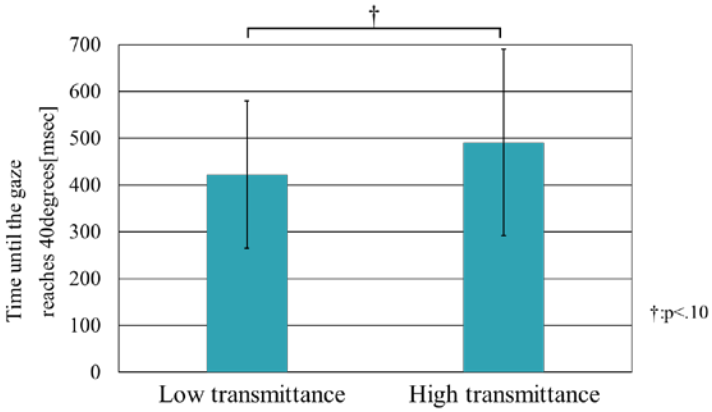 Fig. 7 Time until the Gaze Reaches 40 Degrees by Transmittance P4　右下 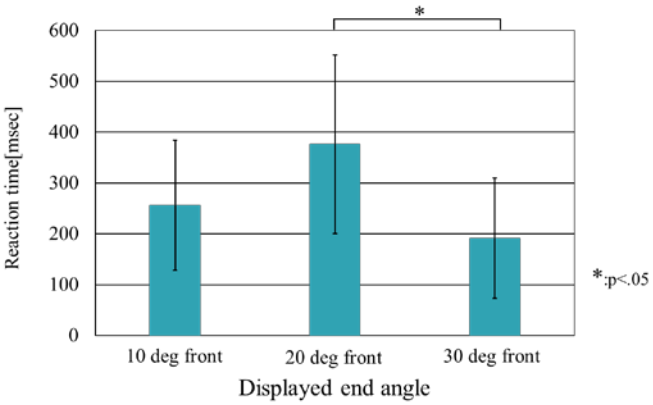 Fig. 9 Reaction Time by Each End Angle when the Target Angle was 100 Degrees

誤
(Incorrect)

P5 左上

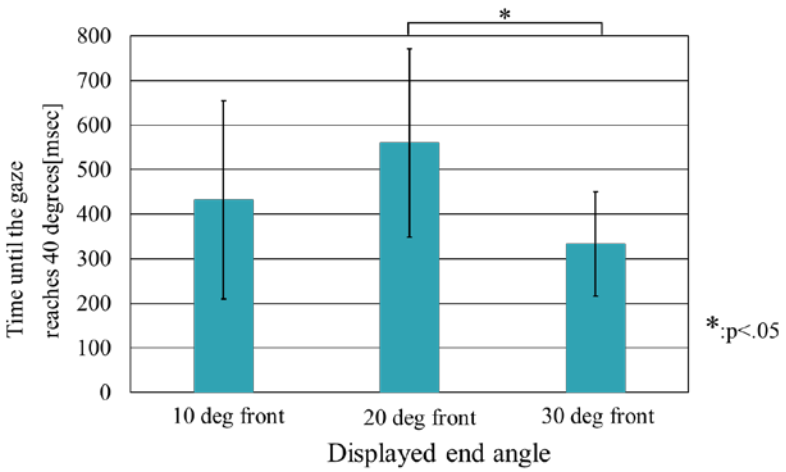

Fig. 10 Time Reaches 40 Degrees by Each End Angle when the Target Angle was 100 Degrees

P5 右下

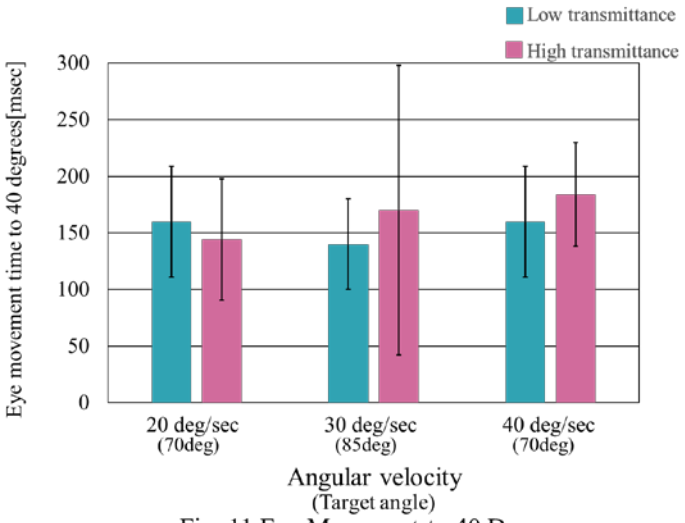

Fig. 11 Eye Movement to 40 Degrees under Low Angular Velocity

P6 左下

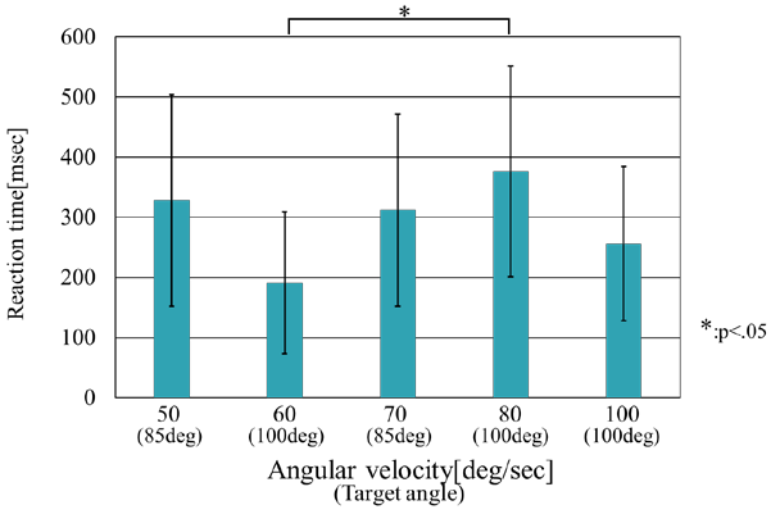

Fig. 12 Reaction Time under High Angular Velocity

P.6 左側 18 行

角速度が 60 度/秒の条件における反応時間は 191 ミリ秒である.

正 (Correct)	P4 左下 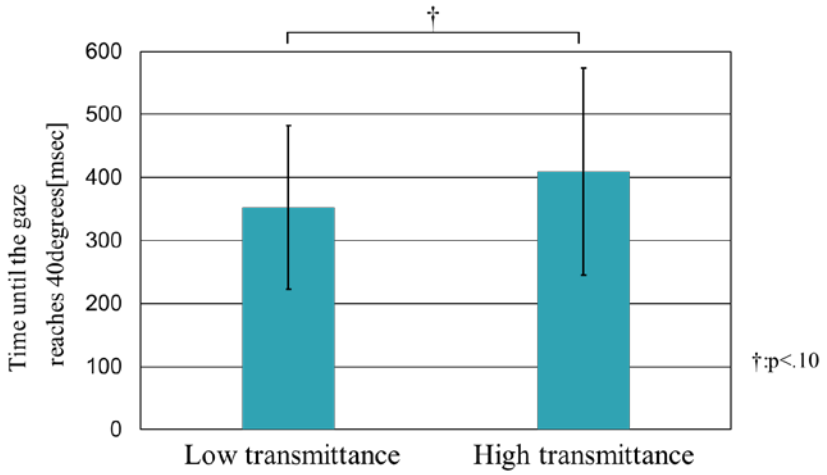 Fig. 7 Time until the Gaze Reaches 40 Degrees by Transmittance P4 右下 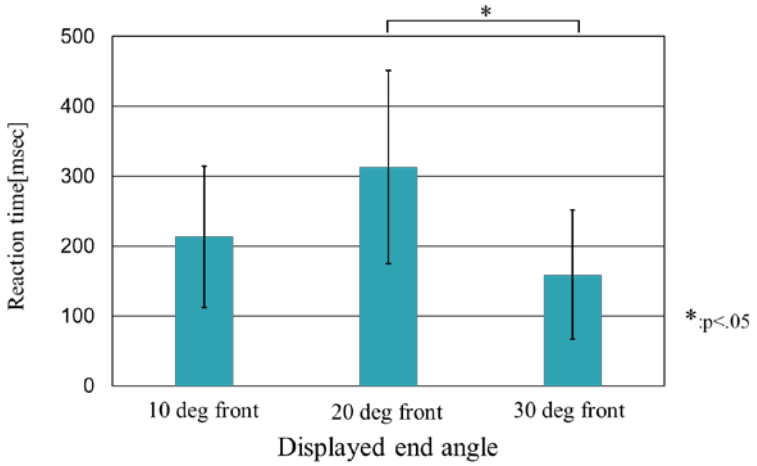 Fig. 9 Reaction Time by Each End Angle when the Target Angle was 100 Degrees P5 左上 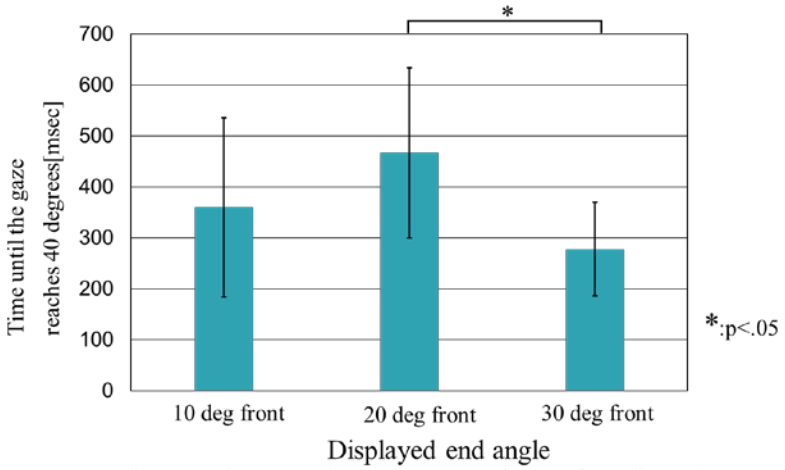 Fig. 10 Time Reaches 40 Degrees by Each End Angle when the Target Angle was 100 Degrees

正 (Correct)	P5 右下 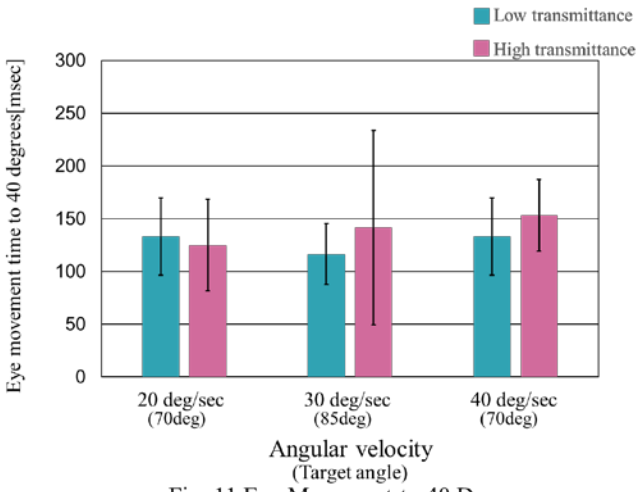 Fig. 11 Eye Movement to 40 Degrees under Low Angular Velocity P6 左下 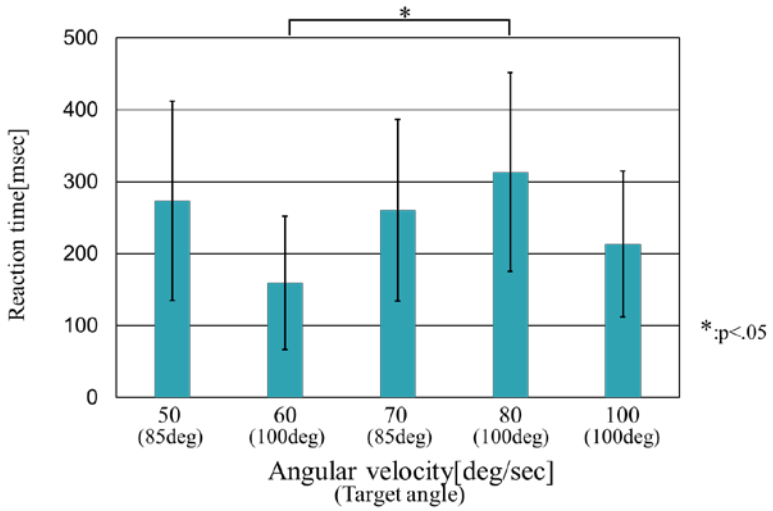 Fig. 12 Reaction Time under High Angular Velocity P.6 左側 18 行 角速度が 60 度/秒の条件における反応時間は 159 ミリ秒である.

講演番号：223　文献番号：20206223

学術講演会予稿集正誤表

(Errata of Proceedings/Summarized Papers)

学術講演会セッション番号・セッション名 (SessionNo.-Session Name)	156 エンジン部品・潤滑油・トライボロジー
講演タイトル （Title）	耐異物焼付きに優れた樹脂コーティング付きエンジン軸受の開発
講演者名 (Speaker name) 所属名 (Affiliation)	壁谷泰典 大豊工業株式会社
誤 (Incorrect)	P.5 下から 4,5 行目 “開発材は主軸受#1,2 とコンロッド大端部軸受 #1,#3,#5“
正 (Correct)	“開発材は主軸受#1,2 とコンロッド大端部軸受 #1,#3,#4“

講演番号：330　文献番号：20206330

学術講演会予稿集正誤表

(Errata of Proceedings/Summarized Papers)

学術講演会セッション番号・セッション名 (SessionNo.-Session Name)	セッション番号：180 セッション名：自動車の運動と制御Ⅲ
講演タイトル （Title）	レーシングタイヤのコーナリング性能台上評価手法について
講演者名 (Speaker name) 所属名 (Affiliation)	久保直也 住友ゴム工業株式会社
誤 (Incorrect)	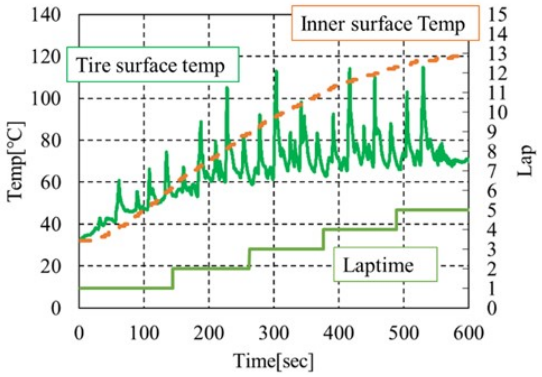 Fig.6 Temperature variation while driving at Sepang Circuit. 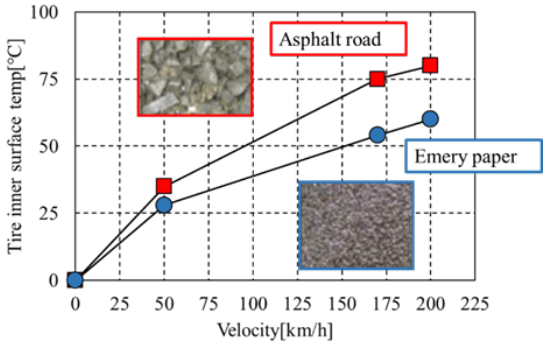 Fig.12 Velocity dependence of tire inner surface temperature while driving on varying road surfaces.

	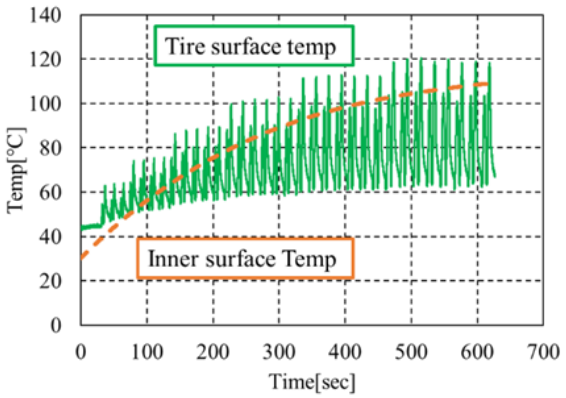 Fig.16 Temperature behavior during evaluation.
正 (Correct)	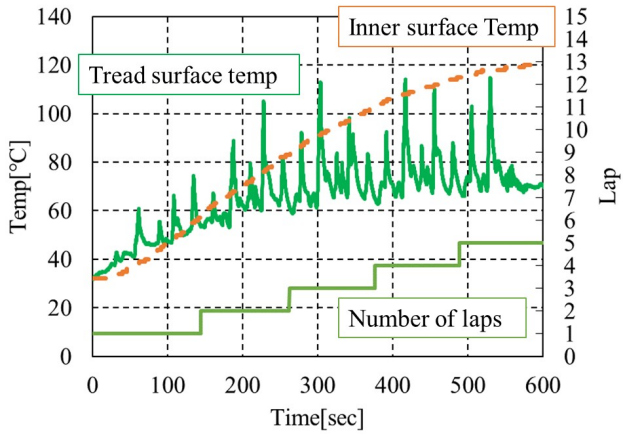 Fig.6 Temperature variation while driving at Sepang Circuit. 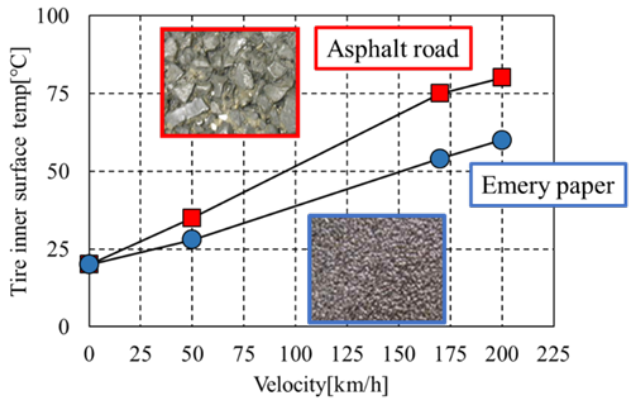 Fig.12 Velocity dependence of tire inner surface temperature while driving on varying road surfaces.

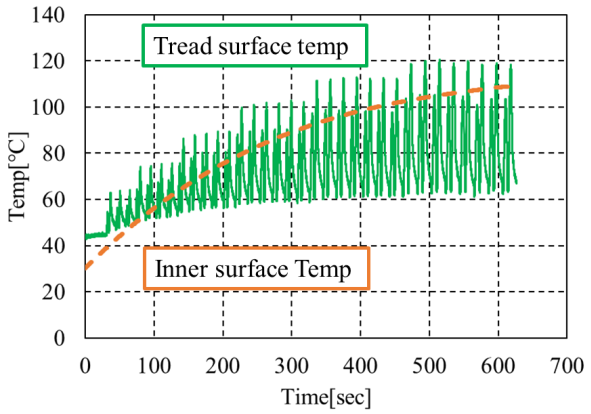

Fig.16 Temperature behavior during evaluation.